

京都大学防災研究所 正会員 道上 正規

1. 緒言 游遊砂量の予測精度に重要な影響を与える要素は、濃度分布形と河床付近の濃度であると言えら
れる。前者に関しては、一粒砂および混合砂に対して Rouse の式がよく適合するなど実験的に明らかにされ
ている。しかし、後者に関しては、i) 鉛直方向の速度変動と河床付近の濃度との関連づける方法 (Lane-Kalinske
モデル) と ii) 河床付近の濃度を渦流砂濃度に接続させる方法 (Einstein モデル) が提案されており、まだ検討
されなければならない点が多く含まれている。すなわち、i) の方法では、河床波による河床付近の乱れ特性の変化
が考慮されていないので、改良すべき点が残されている。一方、ii) の方法は、細砂やミルトの渦流砂量は理屈に
からて計算されてしまうが、このような砂種に適用できる渦流砂量式が存在するかどうかが検討を要する。以上、二
つのモデルにあっては、検討されなければならない点が含まれているため、土屋らによって指摘されたように、
Lane-Kalinske 式、Einstein 式および Laursen 式は実験値との適合性が十分でない。したがって、ここでは
ii) のモデルに準じて、河床波の影響を考慮した河床付近の濃度を考慮して、游遊砂量式を検討する。

2. 河床付近の濃度 河床砂は一粒砂で構成されているとして、河床面から粒径の高さにおける砂粒の鉛直
方向の速度変動の分布が、次式の正規分布を表わされるものと仮定する。

$$f(w_p) = 1/(\sqrt{2\pi}\sigma_p) \cdot \exp(-1/2 \cdot (w_p/\sigma_p)^2) \quad (1)$$

ここで、 σ_p^2 ：砂粒の速度変動の分散である。いま、沈降速度の効果を考慮に入れた粒子速度 w_{pg} は、 $w_{pg} = w_p - w_s$
で表わされるとすれば、粒径の高さ δ_0 から上部 δ_0 砂粒の平均速度は、次式のように書ける。

$$\bar{w}_{pg} = \int_{w_s}^{\infty} (w_p - w_s) f(w_p) dw_p / \int_{w_s}^{\infty} f(w_p) dw_p \quad (2)$$

河床面から単位時間、単位面積当たり浮上する量 g_{su} は、単位面積当たり砂粒の露出係数、砂粒質量、単位時
間当たり浮上する個数および河床にあたる浮上する砂粒の相対的割合に比例する。

$$g_{su} = k_1 N (\pi d^3 \sigma / 6) (\bar{w}_{pg} / d) \int_{w_s}^{\infty} f(w_p) dw_p \quad (3)$$

ここで、 N ：単位面積当たりの砂粒の露出係数で、 $N = 1/(\pi d^3 / 4)$ 、 σ ：砂の密度、 k_1 ：比例定数である。

一方、河床付近から河床に沈降する単位面積当たりの量は、河床付近の濃度を C_B として、平均的に

$$g_{sd} = C_B w_s \sigma \quad (4)$$

で表わされる。平衡状態では、 $g_{su} = g_{sd}$ となるので、これがう C_B を求めること、次式のようになる。

$$\left. \begin{aligned} C_B &= K \{ g(\xi_0) / \xi_0 - G(\xi_0) \} \\ \xi_0 &= w_p / \sigma_p, \quad \xi_0 = w_s / \sigma_p \\ g(\xi_0) &= 1 / \sqrt{2\pi} \cdot \exp(-\xi_0^2 / 2) \\ G(\xi_0) &= 1 / \sqrt{2\pi} \cdot \int_{\xi_0}^{\infty} \exp(-\xi^2 / 2) d\xi \end{aligned} \right\} \quad (5)$$

ここで、 K ：砂粒の形状の補正も含めた比例定数である。

河床波が形成された場合の鉛直方向の乱れ速度は、河床付近では有効摩擦速度で想定され、一方河床からは外
に束では、摩擦速度で想定されると仮定されば、 σ_p は次式のように表わされる。

$$\sigma_p = \beta_1 U_{*e} \quad (6)$$

ここで、 β_1 ：1 に近い比例定数、 U_{*e} ： $U/U_{*e} = 6.0 + 5.75 \log_{10} \{ R/d (1+2\varepsilon_*) \}$ で表わされるものとする。²⁾ ただし
し、 U ：断面平均流速、 R ：径深、 ε_* ： $U_*^2 / (g\tau_f - 1) g d$ である。いま、 $\beta_1 = 0.75$ と仮定して、実験値と(5)式の関
係から、比例定数 K を決定すると、 C_B は次式のようになる。

$$C_B = 0.025 \{ g(\xi_0) / \xi_0 - G(\xi_0) \} \quad (7)$$

$$\text{ただし, } \xi_0 = 0.75 w_s / U_{*e} = 0.75 (w_s / U_*) (U_* / U_{*e})$$

(7)式と実験値の比較が図-1、Lane-Kalinske式と(7)式の比較が図-2に示されている。これから明らかなように、Lane-Kalinske式は、(7)式に比べる濃度よりもかなり小さな値を示し、従来指摘された傾向と一致している。一方、混合砂に対しては、Lane-Kalinske式と同様に、河床付近の濃度は、対象としている砂種の河床に応じて割合に比例するとして、

$$C_B = 0.025 \Delta F(W_0) \{ g(\xi_0) / \xi_0 - G(\xi_0) \} \quad (8)$$

のように書ける。(8)式は、 $W_0/U_* e \approx 1$ では $C_B \sim U_*^3$ 、 $W_0/U_* e \ll 1$ では、 $C_B \sim U_*$ の特性を有している。

3. 流砂量 混合砂量は次式で表わされる。

$$g_s = \int_a^h u C dz \quad (9)$$

測定値として

$$U/U = 1 + 1/K \cdot (n \sqrt{h}/h^k) + 1/K \cdot (n \sqrt{h}/h^k) \ln(z/h) \quad (10)$$

を用い、また、混合砂の粒度領域における濃度分布として、Rouse式

$$C/C_a = \{(h-z)/z \cdot a/(h-a)\}^2, \quad z = W_0/\beta K u_* \quad (11)$$

を用いること、 g_s は次式のよう表わす。

$$g_s = g C_B \left(\frac{a}{h-a} \right)^2 \left\{ \left(1 + \frac{n \sqrt{h}}{h^k} \right) \int_{ah}^h \left(\frac{1}{z} - 1 \right)^2 dz + \frac{n \sqrt{h}}{h^k} \int_{ah}^h \ln z \left(\frac{1}{z} - 1 \right)^2 dz \right\} \quad (12)$$

ここに、 g : 単位幅当たりの流量、 $z = z/h$ 、 $C_a = C_B$ としている。また、他の記号は前用いたと用いてある。ただし、 C_B 、 a として、(8)式を用いること、 g_s は次式のよう表わす。

$$\frac{g_s}{g \Delta F(W_0)} = 0.025 \{ g(\xi_0) / \xi_0 - G(\xi_0) \} \left\{ \left(1 + \frac{n \sqrt{h}}{h^k} \right) \Lambda_1 + \frac{n \sqrt{h}}{h^k} \Lambda_2 \right\} \quad (13)$$

$$\text{ただし}, \quad \Lambda_1 = (a/h-a) \int_{ah}^h (1/z-1)^2 dz$$

$$\Lambda_2 = (a/h-a) \int_{ah}^h \ln z (1/z-1)^2 dz$$

$$Z = W_0 / 1.2 K u_*$$

上式において、 a/h をいかに与えるかという問題が残されており、従来の濃度分布に関する実験資料の整理において、 $a/h = 0.05$ の値がよく用いられることが多いと、および C_B を決定する場合の実験資料として、 $a/h = 0.05 \sim 0.1$ の濃度を用いたことから、ここでは、 $a/h = 0.05$ として、(13)式と従来の実験値を比較したもののが図-3である。ここで検討した資料では、(13)式で与えられる流砂量の0.5~3倍の範囲内に入っているようであり、(13)式がほぼ妥当な流砂量を与えると言えよう。

以上、河床面付近の濃度に関する考察から、混合砂量式を検討しておいたが、今後、河床波上の乱れ機構の研究の発展を取入れて、より明確な混合砂量式を検討していくつもりである。

最後に、本研究にあたりて、有益な助言をいただいた芦田和男教授に感謝の意を表します。

参考文献

- 1) Tsuchiya, A. and K. Hoshikata : Calculations of suspended load in alluvial channel, I.S. River Mech., 1973.
- 2) 芦田・直上：移動床流れと抵抗と揚砂量に関する基礎的研究、土木学会論文報告集、第206号、1972。

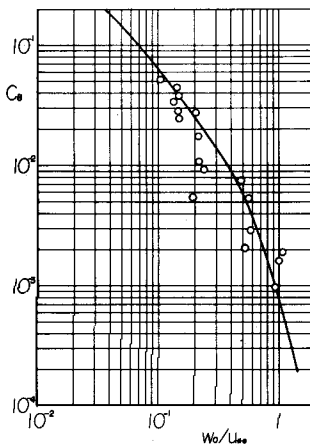


図-1 河床付近の濃度

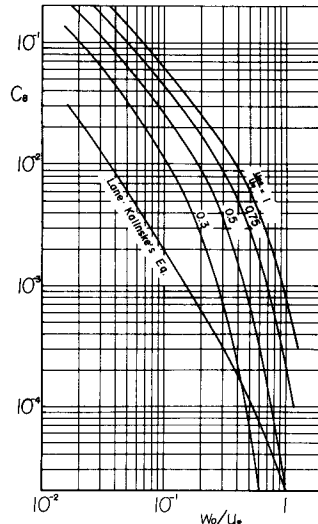


図-2 Lane-Kalinske式と(7)式の比較

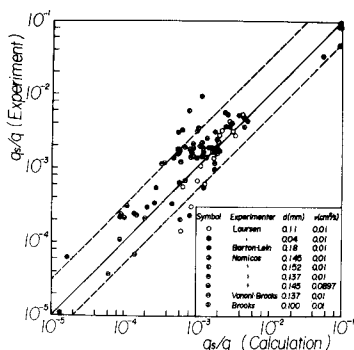


図-3 (13)式と実験値の比較